

ность в определении величины  $\eta_{max}^2$ . В качестве величины  $\xi_{max}^2$  используется ее среднее значение, тогда как  $\xi_{max}^2$  может меняться в зависимости от  $\varphi$  от 0.7 до 1. Такое предположение дает погрешность 15 %. Суммарная погрешность измерения  $\varphi$  для пленки ЖИГ на ГТГ составляла 25 %.

4. Таким образом, дискретность спектров упругих и спин-волновых возбуждений в планарной структуре ферритовая пленка - подложка приводит к аномальной зависимости резонансных полей мод СВР от частоты возбуждения. В результате параметр определен по спектральным характеристикам СВР на частотах магнитоупругого синхронизма. В сочетании с методом „магнитной ямы“ [4] выше-разработанная методика позволяет определять параметр магнитоупругого взаимодействия с высокой степенью локальности в плоскости пленки (до 200 мкм).

#### С п и с о к    л и т е р а т у р ы

- [1] Бугаев А.С., Гуляев Ю.В., Зильберман П.Е., Филимонов Ю.А. // ФТТ. 1981. Т. 23. № 9. С. 2647-2652.
- [2] Горский В.Б., Помялов А.В. // Письма в ЖТФ. 1989. Т. 15. № 7. С. 61-64.
- [3] Ле-Кроу Р., Комсток Р. // Магнитоупругое взаимодействие в ферромагнитных диэлектриках. В кн.: Физическая акустика / Под ред. У. Мезона. Т. 3. Ч. Б. М.: Мир, 1968. 156 с.
- [4] Калиникос Б.А., Kovshikov N.G., Надеев M.M. Всес. конф. по физике магнитных явлений. Тез. докл., Тула. 1983. 206 с.

Московский физико-технический  
институт

Поступило в Редакцию  
12 апреля 1990 г.

Письма в ЖТФ, том 16, вып. 17

12 сентября 1990 г.

01; 02; 05.1; 05.4

© 1990

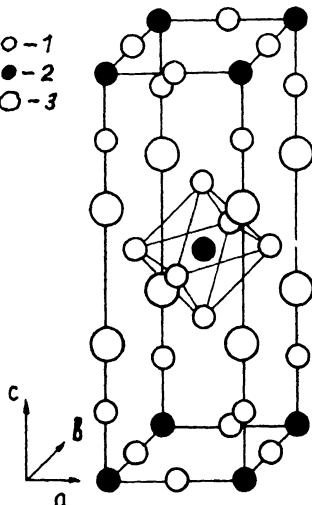
РАСЧЕТ ЦЕПОЧЕК ИОН-ИОННЫХ СТОЛКОВЕНИЙ  
В  $La_2CuO_4$   
МЕТОДОМ МОЛЕКУЛЯРНОЙ ДИНАМИКИ

Н.В. М о и с е е в

Перспектива использования открытых в 1986 году высокотемпературных сверхпроводников (ВТСП) вызывает большой интерес к

Рис. 1. Элементарная ячейка  $\text{La}_2\text{CuO}_4$ .

Обозначения: 1 - кислород, 2 - медь, 3 - лантан.



типу и механизмам образования радиационных дефектов в них. Авторы работы [1] облучали пленки  $\text{Y}-\text{Ba}-\text{Cu}-\text{O}$  ионами водорода, гелия и аргона. Анализ результатов показал, что механизм радиационных повреждений обусловлен, в основном, ион-ионными соударениями, а не процессами электронных потерь энергии. Поэтому для теоретического исследования динамики радиационных процессов можно применять метод молекулярной динамики.

В настоящей работе изучали цепочки ион-ионных столкновений в тетрагональном и орторомбическом  $\text{La}_2\text{CuO}_4$ . Элементарная ячейка тетрагонального  $\text{La}_2\text{CuO}_4$  изображена на рис. 1. Система октаэдров  $\text{CuO}_6$  образует в плоскости (110) линейные цепочки, состоящие из ионов меди и кислорода и окруженные симметричными линзами. Ортотромбическая структура отличается, в частности, тем, что сквазиды повернуты вокруг оси С и наклонены относительно тетрагональной оси (110). Ионы меди и кислорода зигзагообразно смещены от оси цепочки, а линзы несимметричны. В обоих типах структур эти ряды ионов являются наиболее плотноупакованными. Следовательно, можно предположить, что фокусоны и краудионы будут распространяться по этим цепочкам.

Вычисления проводили по программе *MOLLYN* [2]. Структурные параметры фаз взяли из работы [3]. Расчетная ячейка кристаллита сферической формы содержала 903 иона в случае тетрагональной фазы и 540 ионов в случае орторомбической фазы. Использовали "жесткие" граничные условия. Влияние границ исключили введением приграничного демпфирующего слоя. Межионное взаимодействие определяли в виде потенциалов Леннарда-Джонса. Эта функциональная форма является наиболее простой для описания взаимодействий в ионных кристаллах [4]. Параметры потенциалов подгоняли под экспериментальные данные для кислорода, меди и лантана. Потенциалы взаимодействия ионов разного сорта вычисляли по "комбинационному" правилу. На межионных расстояниях, характерных для процессов столкновений, взаимодействие задавали потенциалами типа Борна-Майера, которые были вычислены в работе [5].

Исследовалась динамика столкновений ионов в указанных выше цепочках. Первично выбитыми ионами (ПВИ) являлись как  $\text{Cu}$ , так и  $\text{O}$ . Начальные энергии ПВИ измерялись в пределах 20–50 эВ, углы вылета составляли 0–20°.

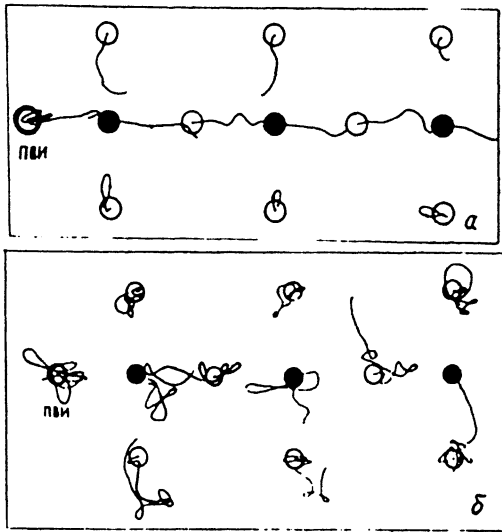


Рис. 2. Динамика ион-ионных столкновений в  $\text{La}_2\text{CuO}_4$ . а - тетрагональная структура, б - орторомбическая структура. Обозначения аналогичны рис. 1.  $E_{\text{ПВИ}} = 20$  эВ, угол вылета -  $10^\circ$ .

На рис. 2, а представлен фрагмент развития цепочки столкновений в тетрагональном  $\text{La}_2\text{CuO}_4$ . Сплошными линиями показаны траектории движения ионов в проекции на плоскость (110). Из рисунка видно, что возникает фокусировка передаваемого импульса. Но характер фокусировки оказался необычным. Как и в работе [6], в процессе ускорения ионов изменялась величина начального угла вылета и у некоторых ионов происходила смена знака направления вылета. Анализ траекторий показал, что фокусированию импульса способствовали окружающие цепочку линзы. Характерными оказались большие смещения ионов кислорода в линзах, наблюдавшиеся также в работе [6]. Кроме того, по цепочке осуществлялась передача массы. Можно полагать, что в этом случае существует некоторая аналогия с динамическим краудионом в металлах.

На рис. 2, б показан фрагмент развития цепочки столкновений в орторомбическом  $\text{La}_2\text{CuO}_4$ . В этом случае цепочка распространяется иначе, чем в тетрагональной структуре. При равных энергии и угле вылета ПВИ в орторомбической структуре нет передачи массы по цепочке, а происходит лишь передача энергии. Такая динамика столкновений сохранялась во всем исследованном интервале энергий и углов вылета ПВИ.

Таким образом, расчеты показали, что в двух структурных формах  $\text{La}_2\text{CuO}_4$  существует заметная разница в поведении цепочек ион-ионных столкновений в направлении плотной упаковки. Поскольку такие цепочки играют важную роль в процессах радиационного дефектообразования, следует, по-видимому, ожидать, что воздейст-

вие каскадообразующего облучения на  $\text{La}_2\text{CuO}_4$  в разных структурных фазах должно приводить к образованию отличающихся дефектных структур.

В заключение автор выражает благодарность А.Н. Петрову за помощь в проведении вычислений на ЭВМ.

### Список литературы

- [1] Enger B., Geerk J., Li H.C., Linker Gr., Meyer O., Strehla n B. // XVIII Int. Conf. Low Temp. Phys. LT18, Aug. 20-26, 1987, Kyoto, Japan.
- [2] Протасов В.И. Кинетика радиационного дефектообразования при воздействии быстрых нейтронов на металлы в зависимости от параметров облучения. Канд. дис., Свердловск: ИФМ УрО АН СССР, 1984. 22 с.
- [3] Jorgenson J.D., Schuttler H.B., Hinks D.G., Gaponenko D.W., Zhang K., Brodsky M.B., Scalapino D.J. // Phys. Rev. Lett. 1987. V. 58. P. 1024.
- [4] Харрисон У. Электронная структура и свойства твердых тел. Т. 2. Физика химической связи. М.:Мир,1983. 332 с.
- [5] Abrahamson A.A. // Phys. Rev. 1969. V. 178. P. 76.
- [6] Кирсанов В.В., Мусин Н.Н. // Письма в ЖТФ. 1989. Т. 15. В. 23. С. 71.

Институт физики металлов  
АН СССР,  
Свердловск

Поступило в Редакцию  
8 июня 1990 г.

Письма в ЖТФ, том 16, вып. 17. 12 сентября 1990 г.  
11; 12

© 1990

### ГЕНЕРАЦИЯ НЕЙТРОНОВ МЕХАНИЧЕСКИ АКТИВИРОВАННОЙ ПОВЕРХНОСТЬЮ МЕТАЛЛОВ

А.Г. Липсон, В.А. Клюев,  
Ю.П. Топоров, Б.В. Дерягин, Д.М. Саков

Ранее нами было показано, что в процессе механического воздействия и некоторое время после его окончания в системе типа титан-дейтерий возможно инициирование  $D-D$ -реакций синтеза, сопровождающихся эмиссией нейтронов [1-3]. Было установлено, что генерация нейтронов является следствием образования дейтеридной фазы типа  $TiD_x$ , при механическом воздействии, создающем свежую поверхность, через которую дейтерий диффундирует в образцы. Однако, вследствие высокой дисперсности частиц  $TiD_x$ ,